

05.3

©1993

СУЖЕНИЕ РАЗМЫТОГО ФАЗОВОГО ПЕРЕХОДА В ТВЕРДОМ РАСТВОРЕ МАГНОНИОБАТА СВИНЦА — СКАНДОНИОБАТА СВИНЦА

Н.К.Юшин, Е.А.Тараканов, Е.П.Смирнова

Сегнетоэлектрики с размытым фазовым переходом (РФП) привлекают к себе широкое внимание как один из примеров неупорядоченных структур со стеклообразным поведением [1–3]. В данной работе исследовалась сегнетокерамика твердого раствора магниобата свинца (PMN), $PbMg_{1/3}Nb_{2/3}O_3$ и скандониобата свинца (PSN), $PbSc_{1/2}Nb_{1/2}O_3$. Этот твердый раствор отличается высокими электрострикционными свойствами и нашел применение в разнообразных устройствах микроперемещений и аддитивной оптики [4–6]. Представляется интересным проследить изменение акустических и диэлектрических свойств этой системы твердых растворов по мере увеличения PSN-компоненты. Поскольку известно, что если PMN обладает всегда РФП, то PSN может при соответствующей термообработке [7] стать упорядоченным с острым ФП.

Сегнетокерамика твердого раствора $(1-x)PbMg_{1/3}Nb_{2/3}O_3 + x \cdot PbSc_{1/2}Nb_{1/2}O_3$ была изготовлена по обычной керамической технологии. Синтез проводился через фазы колумбита и вольфрамита, что обеспечивает чисто перовскитную структуру. Рентгенографические измерения не выявили каких-либо сверхструктурных линий для всех исследованных составов ($x = 0, 0.25, 0.45, 0.75, 1$). Никаких специальных термических обработок для упорядочения керамики не проводилось. Образцы для измерений представляли собой параллелепипеды размером $8 \times 6 \times 6$ мм с плоско-параллельными торцами, плотность керамики ρ составляла 95% от теоретической величины.

Акустические измерения проводились по импульсной методике. Продольные упругие волны возбуждались и регистрировались с помощью резонансных пьезопреобразователей из ниобата лития $X+36^\circ$ среза. Скорость упругих волн определялась методом наложения [8] с точностью измерений абсолютного значения 10^{-3} , а относительного — 0^{-4} . Температурные измерения проводились в диапазоне температуры 78–600 К.

Значения характеристических температур, полученных по минимуму скорости упругих волн T_{\min} и максимуму диэлектрической проницаемости T_m

Состав керамики PMN/PSN, соотношение	Акустические данные, T_{\min} , К	Диэлектрические измерения	
		T_m , К	
		Частота 1 кГц	1 МГц
1/0	258	257	274
0.75/0.25	279	285	299
0.55/0.45	298	297	308
0.25/0.75	350	349	356
0/1	391	379	390

Наблюдаемое поведение температурных зависимостей скоростей V_L продольных упругих волн во всех исследованных составах оказалось подобным ходу температурных зависимостей упругих свойств ранее исследованных сегнетоэлектриков с РФП [2]. Температурную зависимость упругого модуля можно охарактеризовать с помощью двух температур T_{\min} и T_{\max} . При температурах ниже T_{\min} и выше T_{\max} скорость возрастает при уменьшении температуры, причем для температур выше T_{\max} упругий модуль $C_L = \rho V_L^2$ следует линейной зависимости типа $C(T) = C(0) - B \cdot T$. В интервале температуры между T_{\min} и T_{\max} скорость упругих волн растет с температурой. Значения T_{\min} представлены в таблице. Относительное изменение упругого модуля $\delta C = [C(T) - C(T_{\min})] / C(T_{\min})$ показано на рис. 1 для всех исследованных составов.

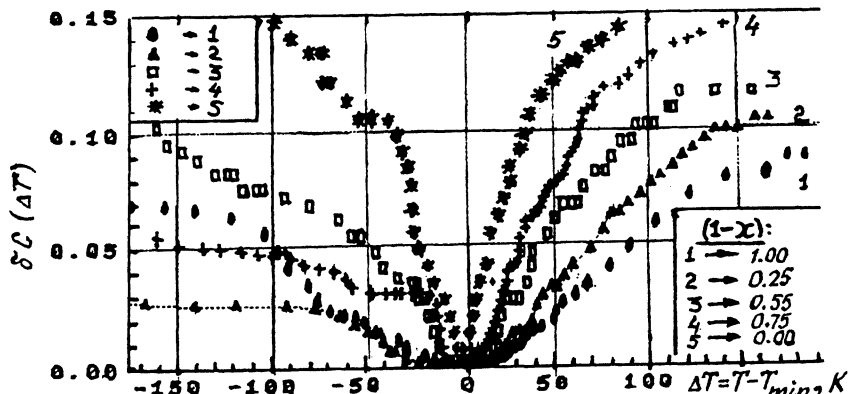


Рис. 1. Относительные изменения упругого модуля твердого раствора $(1-x)$ PMN+ x PSN; $\Delta T = T - T_{\min}$.

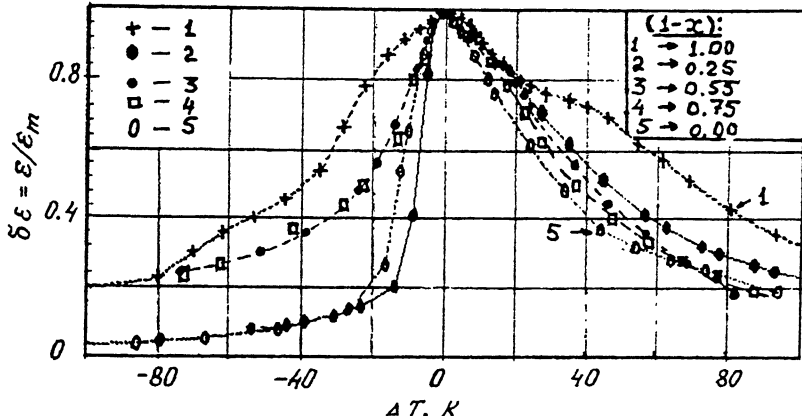


Рис. 2. Относительное изменение диэлектрической проницаемости твердого раствора $(1-x)$ PMN+ x PSN; $\Delta T = T - T_m$.

Диэлектрические измерения проводились на пластинках размером $1 \times 6 \times 6$ мм³, вырезанных из того же бруска, что и образцы для акустических измерений. Измерения на частотах 1 кГц и 1 МГц были выполнены в режиме медленного охлаждения или нагревания с помощью моста Р5079, а на частоте 1 МГц с помощью — Е7-12. Температурная зависимость диэлектрической проницаемости продемонстрировала типичный для сегнетоэлектриков с РФП широкий максимум, положение которого смещается в сторону большей температуры с увеличением частоты. Значение температуры T_m , при которой диэлектрическая проницаемость достигает максимального значения ϵ_m , представлено в таблице. Относительное изменение диэлектрической проницаемости ϵ , измеренной на 1 кГц, $\delta\epsilon = \epsilon(T)/\epsilon_m(T_m)$, показано на рис. 2.

Из рис. 1 и 2 видно, что по мере увеличения содержания PSN в твердом растворе зависимость $\delta C(T)$ (и $\delta\epsilon(T)$) становится все более узкой. Наблюдаемое кажущееся "сужение" ФП, не подтверждается рентгеновскими данными об отсутствии сверхструктуры во всех составах.

Обсудим причину такого сужения акустических и диэлектрических аномалий в исследованном твердом растворе.

Известно, что температурная зависимость упругого модуля сегнетоэлектрика с РФП может быть описана исходя из модели, учитывающей существование в этих неупорядоченных материалах широкого спектра времен релаксаций [2]. Такой непрерывный спектр $g(\tau, T)$ расположен между минимальным временем τ_{min} , которое является температурно-независимым, и максимальным — τ_{max} , которое возрастает по мере понижения температуры.

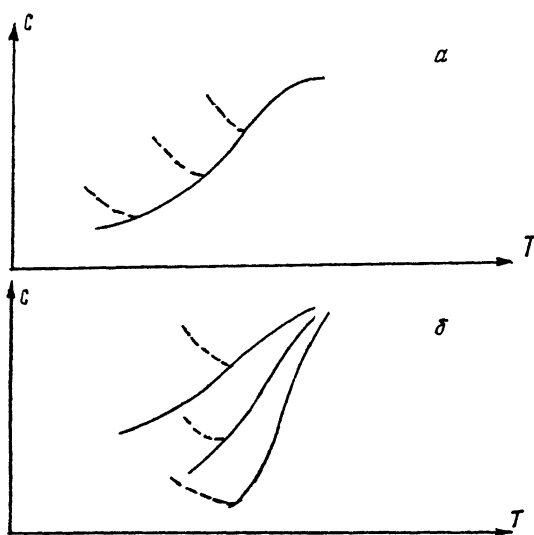


Рис. 3. Модельный ход температурной зависимости $C(\omega, T)$:
 а — $C_0(T)$ — одинаковы для всех составов, $\tau_{\max}(T)$ — разные;
 б — $C_0(T)$ — различны для разных составов, $\tau_{\max}(T)$ — одинаковы.
 Сплошные кривые — $C_0(T)$, пунктирные — $C(\omega, T)$.

Упругий модуль $C(\omega, T)$, измеренный на частоте ω , в указанной модели описывается следующим выражением [2]:

$$C(\omega, T) = C_\infty(T) - [C_\infty(T) - C_0(T)] \int_{\tau_{\min}}^{\min} d \ln \tau \cdot g(\tau, T), \quad (1)$$

где $C_\infty(T)$ — упругий модуль, измеренный на бесконечно большой частоте, а $C_0(T)$ — статический упругий модуль. Из (1) видно, что до тех пор, пока максимальное время релаксации τ_{\max} не превышает ω^{-1} , экспериментально измеряемый модуль $C(\omega, T)$ совпадает со статическим, $C_0(T)$. Минимуму упругого модуля соответствует температура, когда τ_{\max} порядка ω^{-1} ; при последующем охлаждении интеграл в (1) ограничивается верхним пределом ω^{-1} , а $C(\omega, T)$ начинает приближаться к $C_\infty(T)$. Значение $C_\infty(T)$ можно эстраполировать по линейной зависимости типа $C_\infty(T) = C(0) - B \cdot T$ из экспериментальных данных при $T > T_{\max}$. Что касается температурной зависимости упругого модуля на участке $[T_{\min}, T_{\max}]$, то ее можно связать с $C_0(T)$.

Если предположить разный ход $\tau_{\max}(T)$ для различных составов и считать модуль $C_0(T)$ одинаковым, то тогда условие $\tau_{\max} \simeq \omega^{-1}$ достигается для разных составов на разных участках кривой $C_0(T)$ (см. рис. 3, а). Причем для PSN это происходит на более крутом участке $C_0(T)$, а для

PMN — наиболее плавном (ср. с рис. 1). Более быстрый ход $\tau_{\max}(T)$ проявляется и в диэлектрической проницаемости, как усиление дисперсии, т.е. уменьшение разницы температур T_m максимумов на 1 кГц и 1 МГц (см. таблицу). Противоречие между ожидаемым ростом величины акустической аномалии $\Delta C = C(T_{\max}) - C(T_{\min})$ с увеличенем содержания PMN и данными рис. 1 может быть объяснено возрастанием поляризуемости материала с ростом PSN.

В качестве альтернативного предположения рассмотрим случай, когда $\tau_{\max}(T)$ одинаковы для всех составов, а $C_0(T)$ — различаются (рис. 3, б).

Статический модуль $C_0(T)$ может быть рассчитан на основании соответствующих формул теории упругости микроиноднородных сред [9, 10], если рассматривать сегнетоэлектрик с РФП как композит, состоящий из микроскопических областей упорядоченной сегнетофазы, погруженных в неупорядоченную паразелектрическую матрицу, причем доля сегнетофазы ϑ в объеме образца возрастает по мере понижения температуры, не превышая 20% при 5 К [11]. В этом случае значения продольного модуля C_L даются более простой формулой, чем выражения, приведенные в [9, 10],

$$C_0(T) = C^p - \vartheta(C^p - C^f), \quad (2)$$

где верхний индекс p относится к паразелектрической матрице, а f — к сегнетообластям. Упругие модули сегнетофазы меньше соответствующего модуля паразофазы; так для обычного ФП модуль сегнетофазы равен [12]

$$C^f = C^p - Q^2 \chi P^2, \quad (3)$$

где Q — электрострикционная постоянная, χ — восприимчивость, P — поляризация (параметр порядка), т.к. при ФПП рода температурные зависимости χ и P^2 компенсируют друг друга и имеет место скачок модуля в точке ФП вниз на величину $\Delta C = Q^2/2\beta$, где β — коэффициент при четвертой степени параметра порядка (поляризации) в разложении свободной энергии кристалла по теории ФП Ландау [12].

Упругий модуль $C^p(T)$ можно считать совпадающим с $C_\infty(T)$, т.к. при высоких температурах, когда весь образец состоит только из паразелектрической матрицы и нет сегнетообластей, нет и релаксаций, связанных с поляризацией, а тогда $C^p(T)$ описывается линейной зависимостью $C^p(T) = C(0) - B \cdot T$. Точный ход $C^f(T)$ не известен, но по аналогии с другими сегнетоэлектриками его можно считать

линейно зависящим от T , но значение $C^f(T)$ несколько меньше $C^p(T)$. Тогда аномальную температурную зависимость $C_0(T)$ при температурах между T_{\min} и T_{\max} можно связать лишь с ростом доли сегнетофазы ϑ в объеме образца при охлаждении (см. рис. 3, б).

В этом случае наблюдаемое поведение $\delta(C)$ (рис. 1) может быть приписано разному ходу $\vartheta(T)$ для различных составов. Тогда получается, что в PSN доля сегнетоэлектрических упорядоченных микрообластей более резко нарастает при понижении температуры, чем в PMN, хотя оба вещества остаются разупорядоченными и обладают РФП.

Как статический упругий модуль C_0 , так и низкочастотная диэлектрическая проницаемость сегнетоэлектрика с РФП может рассматриваться как проницаемость смеси, состоящей из сегнетофазы с ε^f и паразелектрической матрицы с ε^p . Тогда формулы, приведенные в [13], дают

$$\varepsilon(T) = \varepsilon^p + \vartheta \frac{3(\varepsilon^f - \varepsilon^p)\varepsilon^p}{\varepsilon^f + 2\varepsilon^p}.$$

Точный ход $\varepsilon^f(T)$ и $\varepsilon^p(T)$ не известен, но в любом случае проницаемость материала $\varepsilon(T)$ оказывается зависящей от доли сегнетофазы ϑ . Поэтому такая модель также согласуется с экспериментальными данными (рис. 2), если допустить более быстрый рост $\vartheta(T)$ в составах с большим содержанием PSN.

Таким образом, наблюдаемое сужение акустических и диэлектрических аномалий (рис. 1 и 2) в твердом растворе $(1-x)PMN+xPSN$ может быть описано двумя представленными моделями. Для окончательного решения данного вопроса требуются дополнительные эксперименты, по-видимому в более широком частотном диапазоне.

Список литературы

- [1] Cross L.E. // Ferroelectrics. 1987. V. 76. P. 241–267.
- [2] Dorogovtsev S.N., Yusin N.K. // 1990. V. 112. P. 27–44.
- [3] Yushin N.K., Dorogovtsev S.N. // Ferroelectrics. 1992. V. 134. P. 265–270.
- [4] Yushin N.K. // Material Science Forum. 1990. V. 62–64. P. 375–378.
- [5] Lemanov V.V., Yushin N.K., Smirnova E.P., Sotnikov A.V., Tarakanov E.A., Maksimov A.Yu. // Ferroelectrics. 1992. V. 134. P. 139–144.
- [6] Юшин Н.К., Смирнова Е.П., Сотников А.В., Тараканов Е.А., Максимов А.Ю. // Изв. АН, сер. физ. 1993. Т. 57, № 3. С. 26–31.
- [7] Stenger C.G.F., Burggraaf A.J. // Phys. Stat. Sol. 1980. V. 61. P. 653–664.
- [8] Paradakis E.P. // Rev. Sci. Instrum. 1976. V. 47. N 4. P. 806–813.
- [9] Шермергор Г.Д. Теория упругости микронеоднородных сред. М.: Наука, 1977. 400 с.

- [10] Смоленский Г.А., Юшин Н.К., Смирнов С.И., Дороговцев С.Н. // ДАН СССР. 1987. Т. 294. С. 1366–1368.
- [11] de Mathen M., Husson E., Calvarin G., Gavarri J.R., Hewat A.W., Morell A. // J.Phys.: Cond. Matt. 1991. V. 3. N 42. P. 8159–8171.
- [12] Смоленский Г.А., Боков В.А., Исупов В.А., Крайник Н.Н., Пасынков Р.Е., Соколов А.Н., Юшин Н.К. // Физика сегнетоэлектрических явлений. Л.: Наука, 1985, с.238–262.
- [13] Ландау Л.Д., Лившиц Е.М., “Электродинамика сплошных сред”, М.: Наука, 1992, С. 72–73.

Физико-технический
институт им.А.Ф.Иоффе
РАН
С.-Петербург

Поступило в Редакцию
17 августа 1993 г.
